

- 2.Nasr, M.A., Abd-Elnaby, M., El-Fishawy, A.S., El-Rabaie, S. & El-Samie, A. (2021) Speaker Identification Based on Normalized Pitch Frequency and Mel Frequency Cepstral Coefficients, *International Journal of Speech Technology*, 21, pp. 941–951.
- 3.Singh, M.K., Singh, A.K. & Singh, N. (2021) Multimedia Analysis for Disguised Voice and Classification Efficiency, *Multimedia Tools and Applications*, 78(20), pp. 29395–29411.
- 4.Ganchev, T., Fakotakis, N. & Kokkinakis, G. (2022) Comparative Evaluation of Various MFCC Implementations on the Speaker Verification Task, *10th International Conference on Speech and Computer (SPECOM 2022)*, Vol. 1, pp. 191–194.
- 5.Yuan, Y., Zhao, P. & Zhou, Q. (2020) Research of Speaker Recognition Based on Combination of LPCC and MFCC, *International Conference on Intelligent Computing and Intelligent Systems*, pp. 1147–1149. Available at: [https://www.researchgate.net/publication/251973519\\_Research\\_of\\_speaker\\_recognition\\_based\\_on\\_combination\\_of\\_LPCC\\_and\\_MFCC](https://www.researchgate.net/publication/251973519_Research_of_speaker_recognition_based_on_combination_of_LPCC_and_MFCC).
- 6.Han, K., Yu, D., Tao, R. & Deng, L. (2023) Deep Neural Network Based Speaker Recognition, *IEEE Transactions on Audio, Speech, and Language Processing*, 22(12), pp. 1709–1721.
- 7.Reynolds, D.A. & Rose, R.C. (2022) Robust Text-Independent Speaker Identification Using Gaussian Mixture Speaker Models, *IEEE Transactions on Speech and Audio Processing*, 3(1), pp. 72–83.

## **SI/Cu PLENKA SIRTIGA O<sub>2</sub><sup>+</sup> IONLARI BILAN IMPLANTATSIYA QILINGANDA NANOO'LCHAMLI PLYONKASINING HOSIL BO'LISHI**

**Rabbimov E.A.**

Jizzax politexnika instituti dotsenti

**Saitqulova R.X.**

Jizzax politexnika instituti talabasi

**Anotatsiya:** O<sub>2</sub><sup>+</sup> ionlari bilan implantatsiya qilingandan keyingi Si-Cu(100) sirt yuzasi va sirt qismi tarkibining va tarkibidagi atomlar taqsimlanishi tekshirilgan. Bu ishda Si/Cu(100) tizimini O<sub>2</sub><sup>+</sup> ionlari bilan ionli implantatsiya qilish natijasida sirt yuza bo'ylab va sirt yuza qatlami tarkibidagi atomlarning taqsimlanishini tekshirish ishi birinchi marta o'tkazilmoqda. Toza Si/Cu tizimini O<sub>2</sub><sup>+</sup> iolari bilan implantatsiya qilish va qizdirish yo'li bilan d ~1,5-2 nm qalinlikdagi SiO<sub>2</sub> nanoplyonkasini olish imkonini berar ekan.

**Kalit so'zlar:** ionli implantatsiya, nanoplenka, epitaksial pylonka, getroepitaksial tizim, foton, miqdor, elektron, plenka, turg'un bo'limgan sirtyuza ionlanishi, modulyatsiya usuli, kuchlanishning modulyatsiya usuli.

## **ОБРАЗОВАНИЕ НАНОРАЗМЕРНОЙ ПЛЕНКИ Si/Cu ПРИ ИМПЛАНТАЦИИ НА ПОВЕРХНОСТЬ ПЛЕНКИ ИОНОВ O<sub>2</sub><sup>+</sup>**

**Аннотация:** В данной работе изучается поверхностный состав и атомное распределение системы Si-Cu(100) после имплантации ионами O<sub>2</sub><sup>+</sup>. Впервые было проанализировано распределение атомов по поверхности и в приповерхностном слое системы Si/Cu(100) после ионной имплантации. Результаты показывают, что путем имплантации чистого Si/Cu ионами O<sub>2</sub><sup>+</sup> и применения тепла можно получить нанопленку SiO<sub>2</sub> толщиной приблизительно 1,5–2 нм.

**Ключевые слова:** ионная имплантация, нанопленки, эпитаксиальных пленок, гетероэпитаксиальных систем, фотон, концентрация, electron, plenka. нестационарная поверхностная ионизация, метод модуляция, метод модуляция напряжения.

## FORMATION OF A NANOSCALE Si/Cu FILM UPON IMPLANTATION OF O<sub>2</sub><sup>+</sup> IONS ONTO THE FILM SURFACE

**Abstract:** This study examines the surface composition and atomic distribution of the Si-Cu(100) system after implantation with O<sub>2</sub><sup>+</sup> ions. For the first time, the distribution of atoms across the surface and within the surface layer of the Si/Cu(100) system has been analyzed following ion implantation. The findings demonstrate that by implanting pure Si/Cu with O<sub>2</sub><sup>+</sup> ions and applying heat, it is possible to obtain a SiO<sub>2</sub> nanofilm with a thickness of approximately 1.5–2 nm.

**Key words:** ion implantation, nanofilms, epitaxial films, heteroepitaxial systems, photon, concentration, electron,films, nonstationary surface ionization, modulation, voltage modulation.

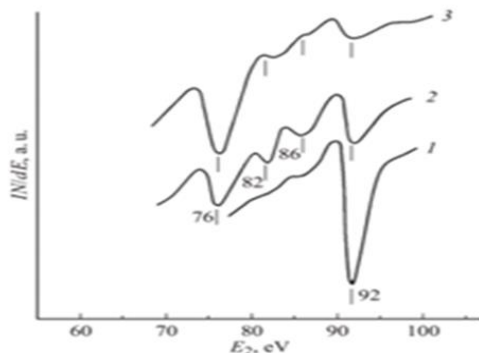
**Kirish.** Nanoo‘lchamli materiallardan foydalanib zamonaviy elektron asboblar uchun turli getrotuzilmalar yaratish uchun sirt yuzada hamda materialarning tarkibi buyicha aralashmali atomlar miqdorining taqsimlanishi to‘g‘risida to‘liq-mukammal ma’lumot olish talab etiladi.Shuning uchun hozirgi vaqtida keng ko‘lamda nanoplyokalar hamda silitsid metallarning nanokristallari va boshqa yarim o‘tkazgichli birikmalar o‘rganilmoqda.Si sirtida yuqori vakuum sharoitida turli usullar bilan hosil qilingan,shu bilan birga mikro va nanoelektronikaning zamonaviy elektron qurilmalarini yaratish imkonini beradigan Si-Me-Si-Me ko‘p qatlamlı tuzilmalari o‘rganilmoqda[1-5]. Ionli implantatsiya usuli bilan yarim o‘tkazgich va dielektriklar sirt yuzasida va sirt qatlamida hosil qilingan nanoo‘lchamli tuzilmalar elektron xususiyatlari,tarkibi va marfologiyasi yaxshi o‘rganilgan[6-8].O<sub>2</sub><sup>+</sup> ionlari bilan implantatsiya qilingandan keyingi Si-Cu(100) sirt yuzasi va sirt qismi tarkibining va tarkibidagi atomlar taqsimlanishi tekshirilgan[9].Ionlar kiritilgan namunani qizdirilgandan keyingi qalinligi d=5,0-6,0 nm,SoSi plyonkasi hosil qilingan.Ionli implantatsiyadan keyin Cu ning Si kirib borishi ~2 marta oshganligi kuzatilgan.Bu ishda Si/Cu(100) tizimini O<sub>2</sub><sup>+</sup> ionlari bilan ionli implantatsiya qilish natijasida sirt yuza bo‘ylab va sirt yuza qatlami tarkibidagi atomlarning taqsimlanishini tekshirish ishi birinchi marta o‘tkazilmoqda.

**Tadqiqotni o‘tkazish usuli.** Tekshirilayotgan uch qatlamlı plyonkasi Si-Cu ikkita alohida O‘YuV (o‘ta yuqori vakuum) qurilmasida haroratlari bug‘latish yo‘li bilan olingan[10].Birinchi qurilmada ( $T=450K$ ) haroratda qizdirilgan NaCl(100) monokristall sirtiga  $10^{-5}$  Pa past bo‘lman vakuum sharoitida qalinligi d=40 nm bo‘lgan Cu plyonkasi hosil qilingan.Keyin Cu plyonkasi NaCl kristall tuzidan distilangan suvga tushirish yo‘li bilan ajratilgan.Bu holda ajralgan erkin plyonka suv yuzasida qoladi. Olingan plyonka boshqa o‘ta yuqori vakuumli kameraga joylashtirilib, Cu toza sirt yuzasiga Si atomlari talab qilingan qalinlikda (10dan 50 nm) bug‘lanuvchi elektronlar bilan urish yo‘li bilan o‘tqaziladi.

Bu namuna universal (O‘YuV) qurilmasiga o‘rnataladi.Ionlar implantatsiyasi,qizdirish va barcha tekshiruvlar  $10^{-6}$  Pa dan kam bo‘lman vakuumli ushbu qulilmada bajarildi. Namunaning sirt qatlam tarkibi va tuzilishi elektron oje-spektroskopiyasi (EOS) va kichik energiyali elektronlar difraksiyasi (KEED) usullari orqali tekshirildi. SiO<sub>2</sub> amorf holatda.Energetik zonalar parametrlari fotoelektronlar (FES) spektri bo‘yicha baholandı.Aatomlarning tarkibiy taqsimlanishi namunani  $E_0 = 2\text{keV}$  bo‘lgan energiya bilan va sirt tekisligiga nisbatan  $5-10^0$  burchak ostida argon ionlari bilan qatlam-qatlam tozalash yo‘li bilan elektron oje-spektrometri usuli bilan tekshirildi.

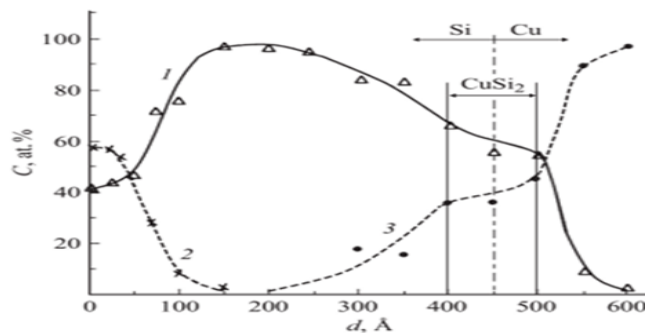
**Tadqiqot natijalari va ularning tahlili.** Ionli implantatsiyadan oldin Si/Cu namunasi o‘ta yuqori (O‘YuV)  $P \leq 10^{-5}$  Pa sharoitida 2-3h vaqt davomida  $T=700-750$  K haroratda qizdirildi.EOS

natijalariga ko'ra Si sirtini qizdirgandan keyin kislород atomlari ~ 4-5 at.%, uglerod atomlari esa ~2at.% ni tashkil etadi. Shundan keyin Si/Cu tizimining chegarasida qalinligi  $d=8-10\text{ nm}$  bo'lgan silitsid  $\text{Cu}_2\text{Si}_3$  o'tuvchi qatlama hosil bo'lmoqda [9]. Bu ishda asosiy tekshiruv  $\text{Si}/\text{Cu}_2\text{Si}_3/\text{Cu}$  tizimi uchun o'tkazildi, bu yerda  $d_{\text{Si}}=40\text{ nm}$ ,  $d_{\text{Cu}_2\text{Si}_3} \sim 10\text{ nm}$ ,  $d_{\text{Cu}} \sim 40\text{ nm}$  ga teng. Namuna energiyasi  $E_0=1\text{ keV}$  va  $D \sim 6 \times 10^{16}\text{ sm}^{-2}$  bo'lgan  $\text{O}^{2+}$  ionlari bilan implantatsiya qilindi.



$1.\text{O}^{2+}$  ionlari bilan implantatsiya qilingan va qizdirish jarayonida kremniyning L2,3VV oje-piki: 1- Si; 2- energiyasi  $E_0=1\text{ keV}$  va ionlar dozasi  $D=6 \times 10^{16}\text{ sm}^{-2}$  bo'lgan  $\text{O}^{2+}$  kislород ionlari bilan implantatsiya qilingandan keyingi Oje spektri; 3-  $T = 700\text{ K}$  da qizdirilgandan keyingi spektri.

1-rasmda L2,3 VV kremniyning ( $E=91\text{ ev}$ )  $\text{O}^{2+}$  ionlari bilan implantatsiya va qizdirishdan keyingi Oje-cho'qqisining forma va holatining o'zgarishi ko'rsatilgan. Ko'rinib turibdiki ionli implantatsiyadan keyin Si intensivligining cho'qqisi ~ 2- 2,5 marta kamayib, 76, 82, 86 eV da ctexiométrik oksidlanish xarakteridagi yangi cho'qqilar hosil bo'lmoqda. OES spektrini to'liq analiz qilish natijasi shuni kursatdiki, sirt qatlama oksidlanish tipidagi  $\text{Si}_2\text{O}$  hamda urib chiqarilgan Si va O atomlarining cho'qqilar paydo bo'ldi. Si ning umumiy miqdori ~45-50 at.%, O miqdori ~55 at.% ni tashkil qilmoqda.  $T=700\text{ K}$  haroratda qizdirilgandan so'ng, 76 eV energiyada  $\text{SiO}_2$  uchun xarakterli bo'lgan cho'qqi keskin oshib, qolgan cho'qqilar minumimgacha kamaydi. Hisblashlar shuni kursatdiki, shundan keyin sirt qismidagi  $\text{SiO}_2$  miqdori ~ 90-92 at.%, Si esa ~ 5-6 at.% ni, stexiométrik bo'lмаган oksidlanish esa ~ 5-7 at.% ni tashkil etadi. Qalin pylonka holatida haroratni 80-90 K ga oshirilganda  $\text{SiO}_2$  bir jinsli pylonkani olish mumkin ekan. 2-rasmda nanoplyonka Si-Cu tizimida O, Si va Su atomlarining d chuqurlik bo'yicha taqsimlanish profili ko'rsatilgan. Ko'rinib turibdiki ionli implantatsiyadan keyin kremniy miqdori  $d \sim 2,3-3\text{ nm}$  qalinlikda ~ 45-50 at.% ni, kislород miqdori esa ~ 50 – 60 at.% ni tashkil etmoqda.  $d=2,5-10\text{ nm}$  oraliqda Ssi miqdori 80-90 at.% gacha ortadi, kislород miqdori esa  $S_o$  esa ~ 35-40 at.% kamaymoqda. Chuqurlikning ortishi bilan  $S_{\text{Si}}(d)$  bog'liklik  $d=15-20\text{ nm}$  da maksimumdan o'tadi, a kislород miqdori SO amalda nulgacha kamayadi.  $D=20-40\text{ nm}$  oraliqda kremniy miqdori  $S_{\text{Si}}$  25-30 at.% gacha, bu shuni bilan asoslanadiki bu qatlama Cu atomlari  $\text{Su}_2\text{Si}/\text{Cu}$  tizimidan Si plenkasidagi Su bilan diffuziyaga kirishadi [6].  $\text{Si}/\text{Cu}_2\text{Si}_3$  bo'lim chegarasida bir qancha kislород miqdori paydo bo'ladi.  $\text{Su}_2\text{Si}_2$  pylonkasida Si miqdori ~ 55-60 at.% ni, Cu pylonkasida Si miqdori keskin kamayib boradi va  $d=60-65\text{ nm}$  da ~ 2-3 at.% ni tashkil etadi.



2-rasm.Erkin pylonka tizimidagi Si/ Cu ni energiyasi Yeo=1keV va ionlar dozasi D=6\*10<sup>16</sup> sm<sup>-2</sup> bo‘lgan O<sub>2</sub><sup>+</sup> kislород ionlari bilan implantatsiya qilingandan keyingi Si,Cu, va O atomlarining taqsimlanish profili:1- Si, 2-O; 3-S.

Bu tizimni T=700-750 K qizdirib borilganda Si pylonkasi sirtida d ~1,5-2 nm qalinlikdagi SiO<sub>2</sub> hosil bo‘lishiga olib keladi va o‘z navbatida to‘rt qatlamlı SiO<sub>2</sub>/Si/Cu<sub>2</sub>Si<sub>3</sub>/Cu nanoplyonka tizimi hosil bo‘ladi.

**Xulosa.** Toza Si/Cu tizimini O<sub>2</sub><sup>+</sup> iolari bilan implantatsiya qilish va qizdirish yo‘li bilan d ~1,5-2 nm qalinlikdagi SiO<sub>2</sub> nanoplyonkasini olish imkonini berar ekan.Shundan keyin SiO<sub>2</sub> da yetarli darajada Si(5-6 at.%)ning bog‘lanmagan atomlari vujudga kelib, bular SiO<sub>2</sub> dagi taqiqlangan zona kengligini Eg ikki va undan ortiq barobar kamaytirar ekan.

### **Adabiyotlar ro‘yxati**

1. Landry O.,Bougerol C.,Renevier H.,Daudin B./Nanotechnology.2009.Vol.20 N27.P/415602.
2. Wang D.,Zou Z.Q./ Nanotechnology.2009.Vol.20.N.27.P.275607.
3. Domoshevskaya E.P.Trexov V.A.Turishev S.Yu.va boshqalar.Arrathurai N./FTT.2013.T.55.N
4. Muradkabilov D. M., Tashmuhammedova D.A., Umirzakov B.Y. Rabbimov E.A //Poverxnost. Rentgen., sinxronotron. I neytron. Issledovaniya. 2013. № 10. S. 58-62. [ Muradkabilov D.M., Tashmukhamedova D.A., Umirzakov B.E. // J. Surf. Investigation: X-ray, Synchotron and Neutron techniq. 2013. Vol.7. N. 5. September, P. 967-971.]
5. Umirzakov B.Y., Tashmuhammedova D.A., Ruzibaeva M.K., Tashatov A.K., Donaev S.B., Mavliyanov B.B. // JTF. 2013. T. 83. Выр. 9. S. 146-149. Т [ Umirzakov B.E. Tashmukhamedova D.A., Ruziboyeева M.K., Tashatov A.K., Donaev S.B., Mavlyanov B.B // techniq. Physics. 2013. Vol. 58. N. 9. P. 1383-1386
6. Sharopov U.B., Atabaev B.G., Djabbarganov R., Kurbanov M.K., // Poverxnost. Rentgen., sinxronotron. I neytron. Issledovaniya. 2016. № 2. S. 1-5.

## **НУТҚНИ ҚАЙТА ИШЛАШДА КОҲОНЕН ХАРИТАСИНИ ҚЎЛЛАШ ВА УНИ САМАРАДОРЛИГИНИ БАҲОЛАШ**

**Ниёзматова Нилуфар Алохоновна**

“TIQXMMI” Milliy tadqiqot universiteti dotsenti

**Жалелов Куаныш Моятдинович**

“TIQXMMI” Milliy tadqiqot universiteti асистенти

**Абдуллаева Барно Мўйдинжон қизи**

Наманган давлат университети таянч докторанти

**Аннотация:** Мазкур тадқиқотда нутқ сигналини шовқинлардан тозалаш учун Коҳонен харитасига асосланган янги ёндашув таклиф этилган. Бунда нутқни частота ва энергия хусусиятлари асосида ва Коҳонен харитаси ёрдамида шовқинли кластерлар аниқланган ҳамда шовқин даражасини тахмин қилиш учун “Minimum Statistics Noise Estimation” усулидан фойдаланилган. Бу юқори шовқин даражаларида ҳам барқарор натижалар олишга имкон берган. Хусусият сифатида паст шовқин даражаларида MFCC, юқори шовқин даражаларида эса Log-Mel спектрограммасидан фойдаланилган. Тажрибалар турли шовқин даражаларида (1%, 5%, 10%, 15%, 20%, 25% оқ шовқин)